

Expression (logcounts)

Br1735_GGGTTATTCGTGGGTC-1

Br1735_GGGTTAAGAGACAAG-1

Br1735_GGGTTAACGCTCGTA-1

Br1735_GGGTTTACATTCGATG-1

Br1735_GGGTTTAGTACTCGTA-1

Br1735_GGGTTTAGTGTCATA-1

Br1735_GGTAACTCAATTGAGA-1

Br1735_GGTAACTGTAGGATAT-1

Br1735_GGTAACTGTGACTGTT-1

Br1735_GGTAACTGTGAGAAC-1

Br1735_GGTAACTGTTCGGTAT-1

Br1735_GGTAATCCAACAGAGC-1

Br1735_GGTAATCCACATATGC-1

Br1735_GGTAATCCACGCTGTG-1

Br1735_GGTAATCCAGGAGGTT-1

Br1735_GGTAATCCAGGTTACT-1

Br1735_GGTAATCTCTCTCCGA-1

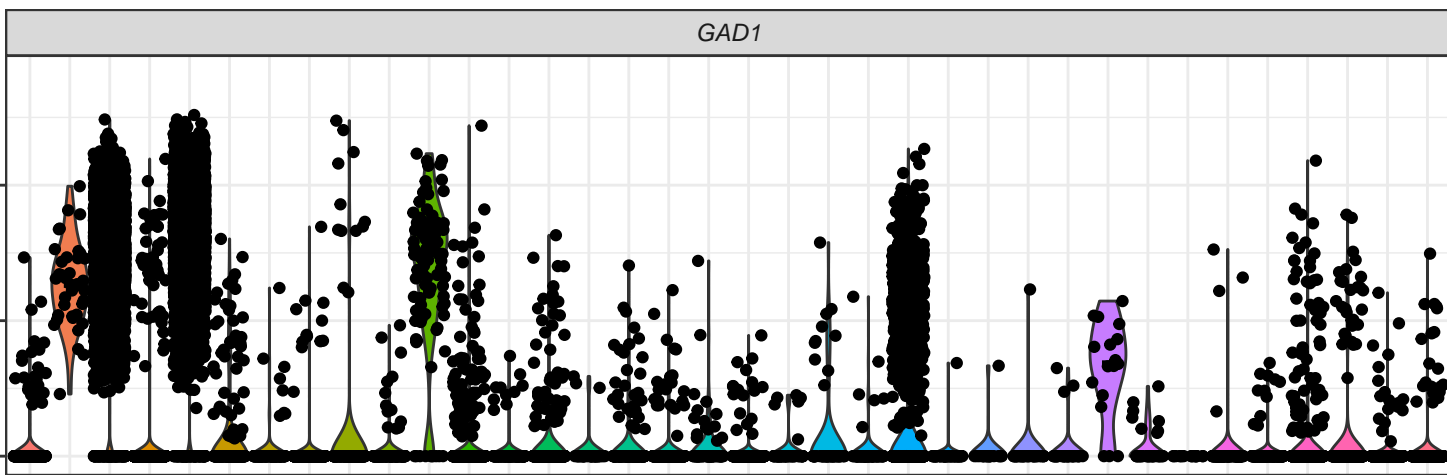
Br1735_GGTAGAGCAGGCACTC-1

Br1735_GGTAGAGCATGGGAAC-1

inhibitory_neuron

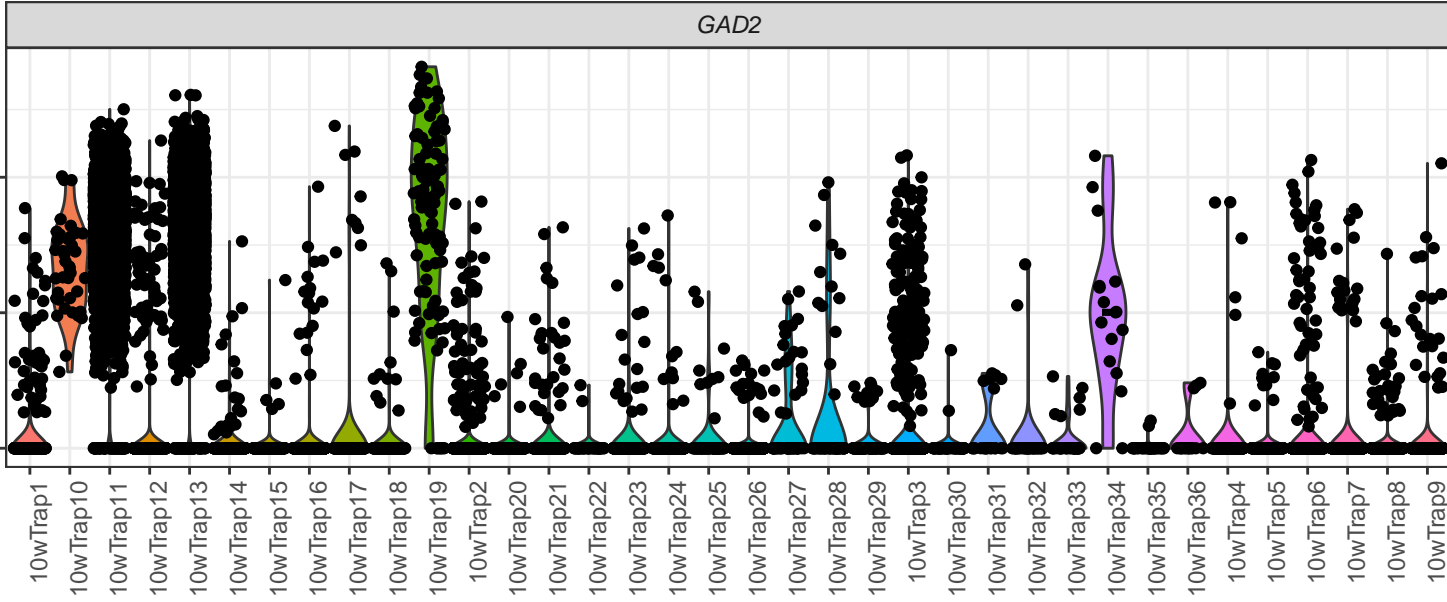
GAD1

Expression (logcounts)

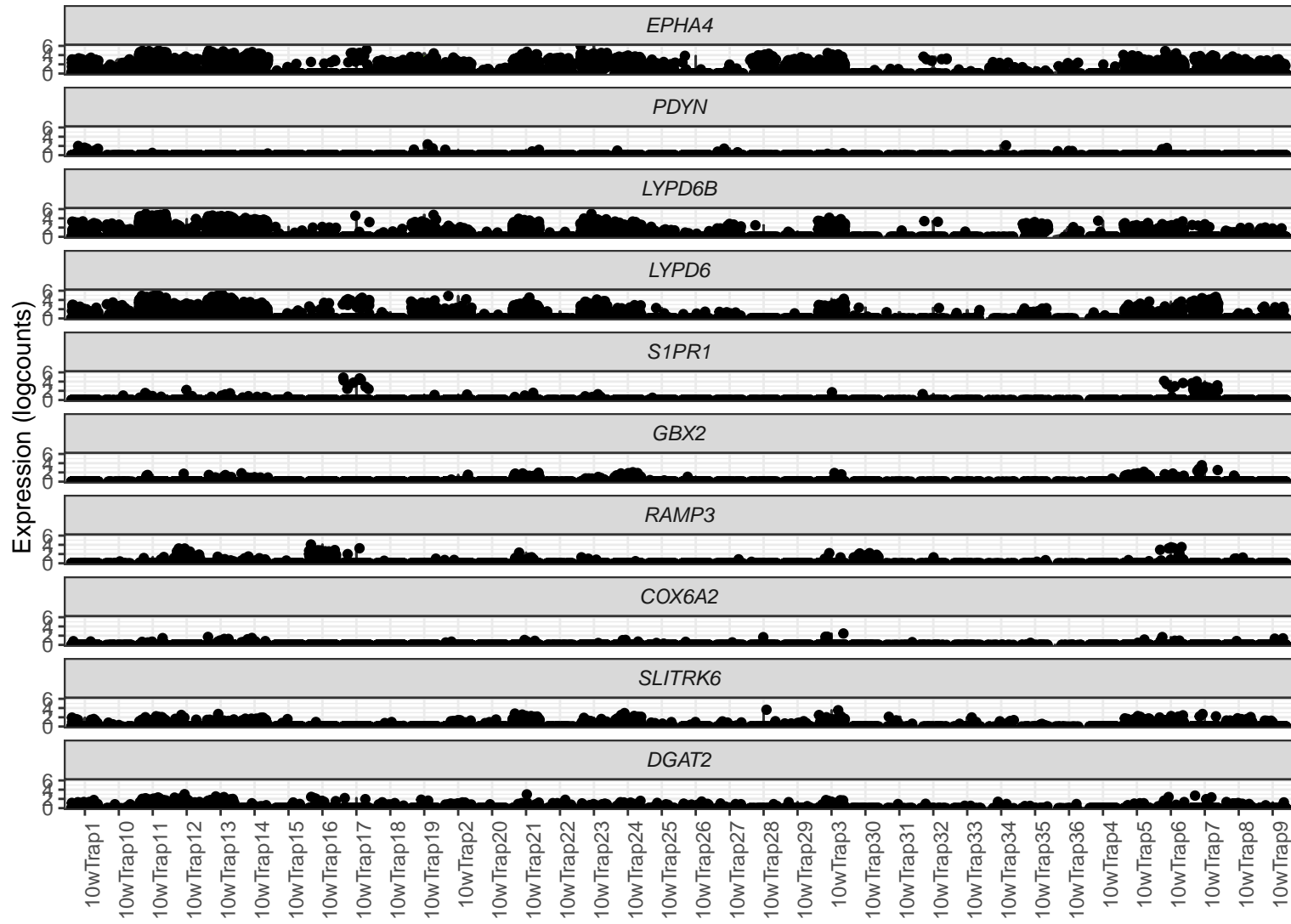


GAD2

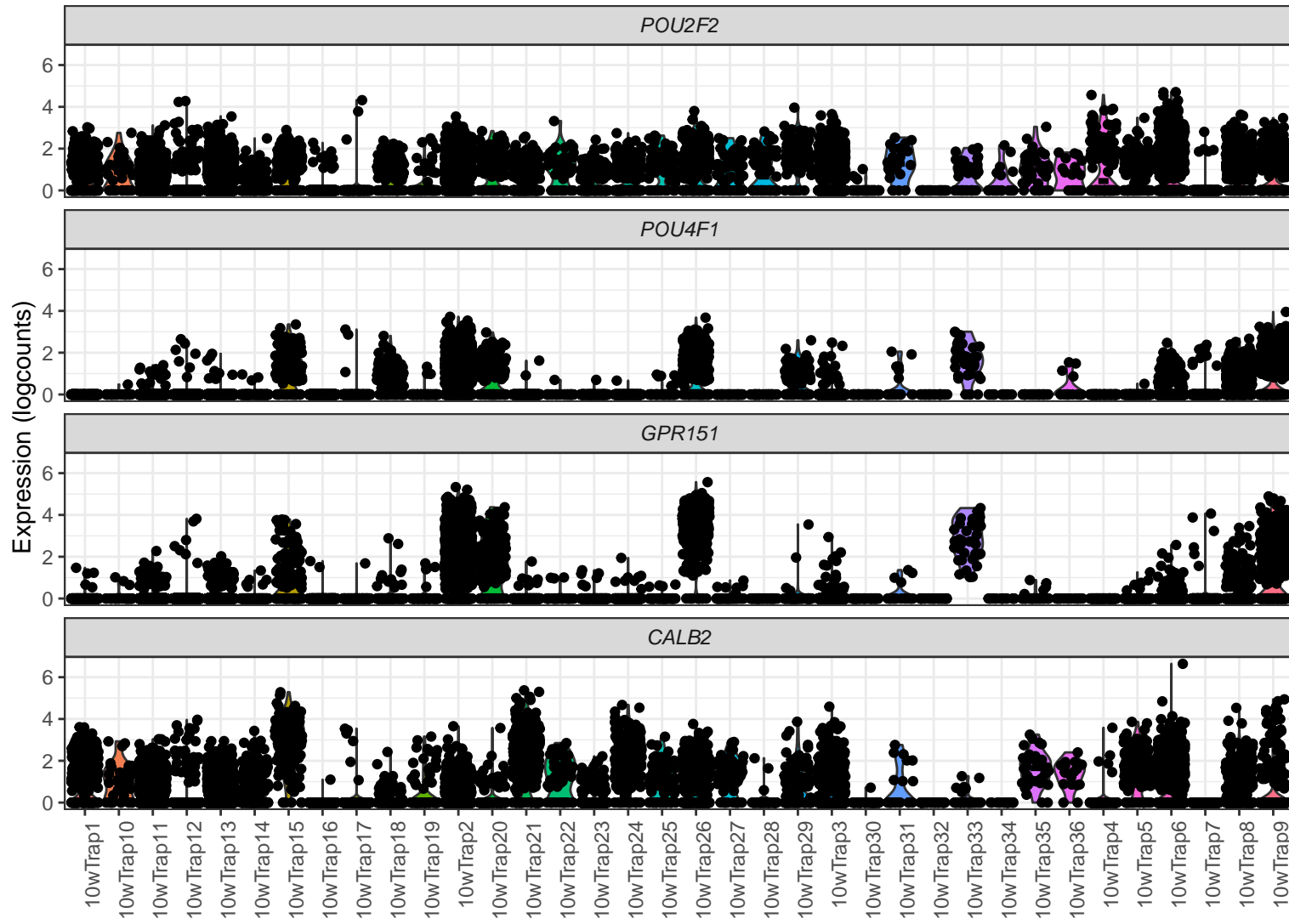
Expression (logcounts)



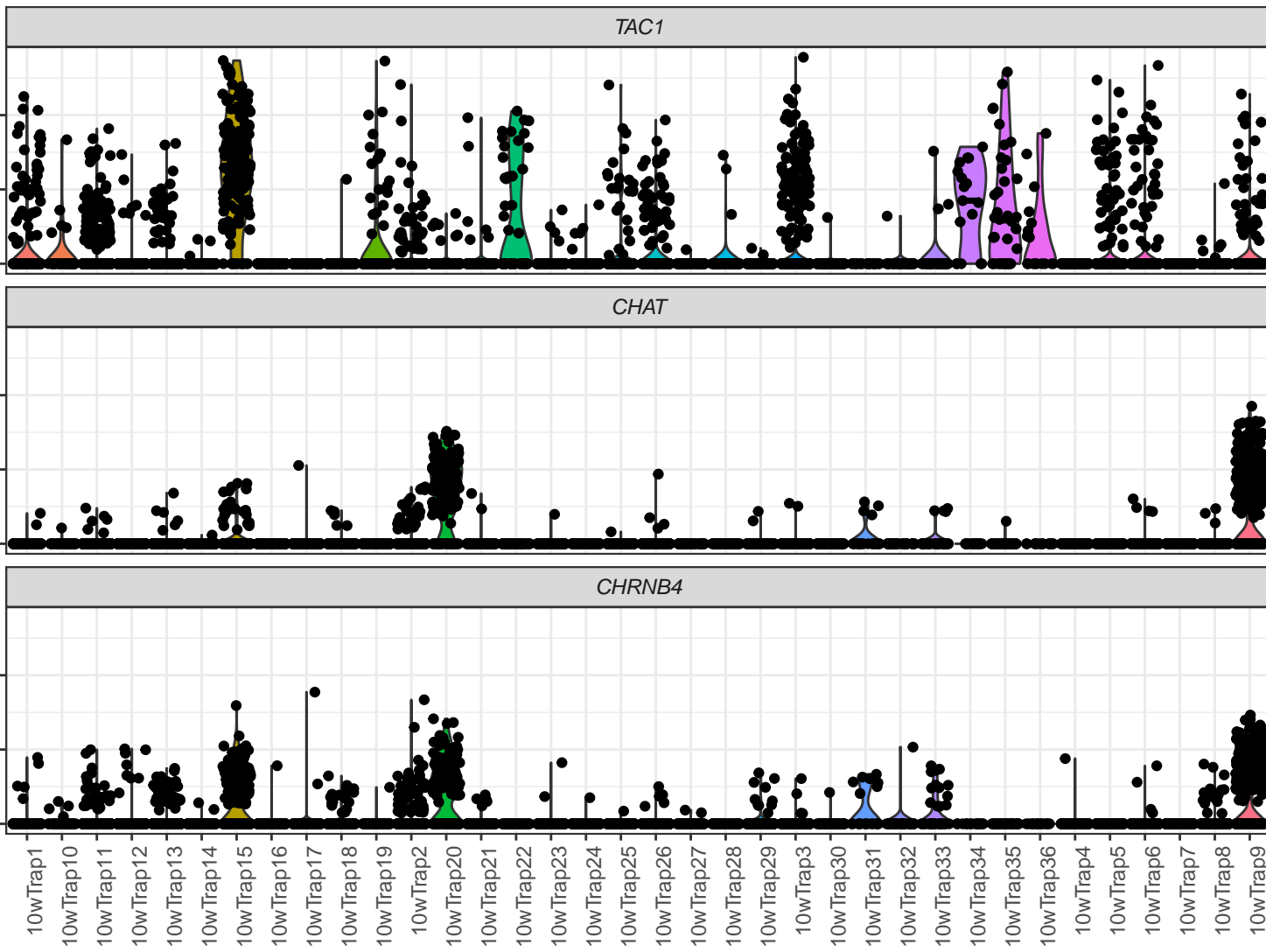
mediodorsal thalamus



Hb neuron specific



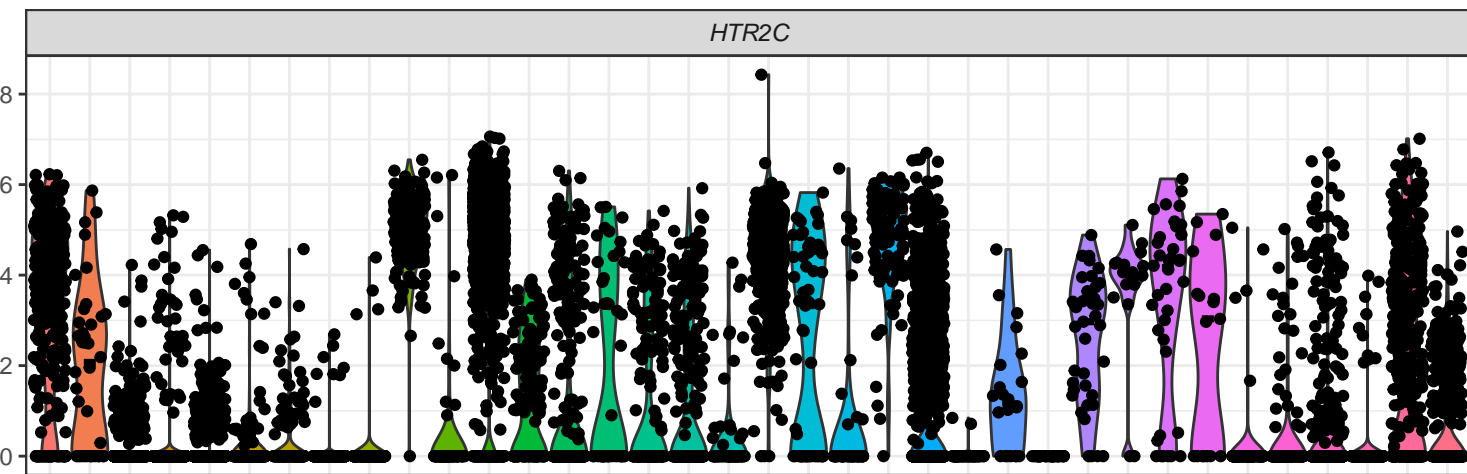
MHB neuron specific



LHB neuron specific

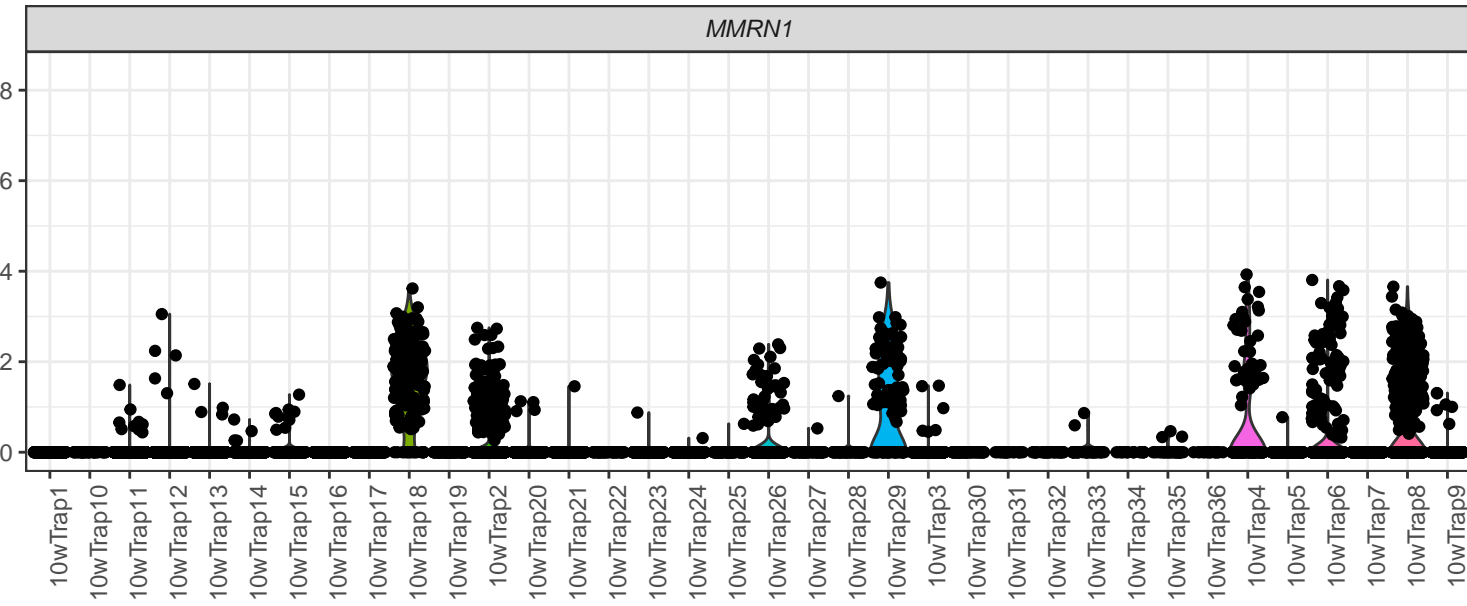
HTR2C

Expression (logcounts)



MMRN1

Expression (logcounts)



Expression (logcounts)

Br1735_GGGTTATTCGTGGGTC-1

Br1735_GGGTTAAGAGACAAG-1

Br1735_GGGTTAACGCTCGTA-1

Br1735_GGGTTTACATTCGATG-1

Br1735_GGGTTTAGTACTCGTA-1

Br1735_GGGTTTAGTGTCATA-1

Br1735_GGTAACTCAATTGAGA-1

Br1735_GGTAACTGTAGGATAT-1

Br1735_GGTAACTGTGACTGTT-1

Br1735_GGTAACTGTGAGAAC-1

Br1735_GGTAACTGTTCGGTAT-1

Br1735_GGTAATCCAACAGAGC-1

Br1735_GGTAATCCACATATGC-1

Br1735_GGTAATCCACGCTGTG-1

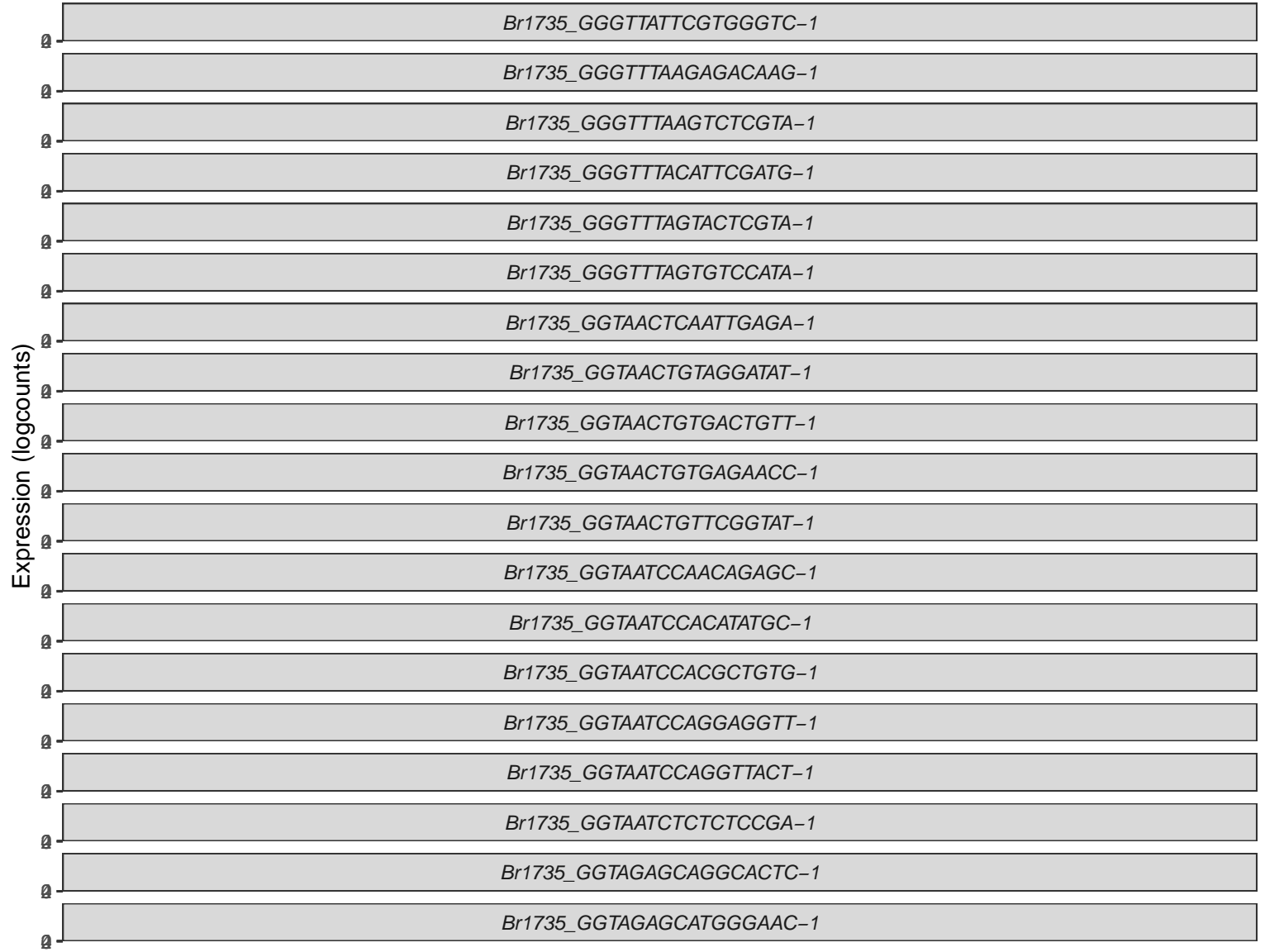
Br1735_GGTAATCCAGGAGGTT-1

Br1735_GGTAATCCAGGTTACT-1

Br1735_GGTAATCTCTCTCCGA-1

Br1735_GGTAGAGCAGGCACTC-1

Br1735_GGTAGAGCATGGGAAC-1



Expression (logcounts)

Br1735_GGGTTATTCGTGGGTC-1

Br1735_GGGTTAAGAGACAAG-1

Br1735_GGGTTAACGCTCGTA-1

Br1735_GGGTTTACATTCGATG-1

Br1735_GGGTTTAGTACTCGTA-1

Br1735_GGGTTTAGTGTCATA-1

Br1735_GGTAACTCAATTGAGA-1

Br1735_GGTAACTGTAGGATAT-1

Br1735_GGTAACTGTGACTGTT-1

Br1735_GGTAACTGTGAGAAC-1

Br1735_GGTAACTGTTCGGTAT-1

Br1735_GGTAATCCAACAGAGC-1

Br1735_GGTAATCCACATATGC-1

Br1735_GGTAATCCACGCTGTG-1

Br1735_GGTAATCCAGGAGGTT-1

Br1735_GGTAATCCAGGTTACT-1

Br1735_GGTAATCTCTCTCCGA-1

Br1735_GGTAGAGCAGGCACTC-1

Br1735_GGTAGAGCATGGGAAC-1

Expression (logcounts)

Br1735_GGGTTATTCGTGGGTC-1

Br1735_GGGTTAAGAGACAAG-1

Br1735_GGGTTAACAGTCTCGTA-1

Br1735_GGGTTTACATTCGATG-1

Br1735_GGGTTTAGTACTCGTA-1

Br1735_GGGTTTAGTGTCATA-1

Br1735_GGTAACTCAATTGAGA-1

Br1735_GGTAACTGTAGGATAT-1

Br1735_GGTAACTGTGACTGTT-1

Br1735_GGTAACTGTGAGAAC-1

Br1735_GGTAACTGTTCGGTAT-1

Br1735_GGTAATCCAACAGAGC-1

Br1735_GGTAATCCACATATGC-1

Br1735_GGTAATCCACGCTGTG-1

Br1735_GGTAATCCAGGAGGTT-1

Br1735_GGTAATCCAGGTTACT-1

Br1735_GGTAATCTCTCTCCGA-1

Br1735_GGTAGAGCAGGCACTC-1

Br1735_GGTAGAGCATGGGAAC-1